

混成防波堤の振動及び滑動に関する一考察

東北大学工学部 正員 岩崎 敏夫
東北大学工学部 学生○浅川 勉
東北大学工学部 学生 扇田 勝行

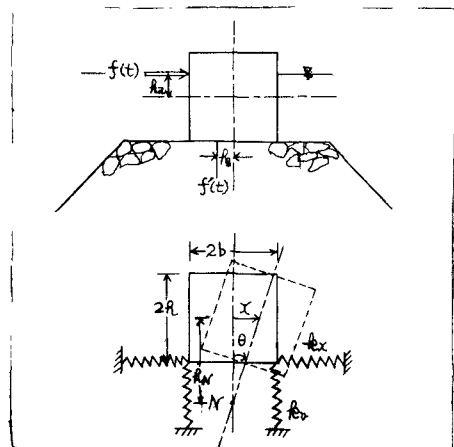
1 まえがき

現在、剛体的な壁体に作用する波力に関する研究とともに、堤体の滑動の問題に対して、碎波の衝撃的波圧の効果を知る為に、防波堤の力学系としての応答解析に関する研究が進められている。

後者に関して言えば、まず、剛なる基礎の上に剛なる堤体が設置されると仮定すれば、衝撃的波圧の作用時に⁽¹⁾こと、水平波力が静止摩擦を越えた瞬間に、堤体は滑動を起すことになり、永井⁽²⁾の研究によれば、全水平波力が静止摩擦力に打勝った瞬間に、コンクリートブロックの滑動が起⁽³⁾たと云う実験例が報告されて⁽⁴⁾いる。しかし、羽幌港の実測によると、弾性的な基礎の仮定が適当と想われ、実際の防波堤に關し、剛体的な力学系を仮定することには問題が残されている。こ⁽⁵⁾う点に關し基礎を弾性体とみなし、堤体下面中央にロッキング中心を仮定して場合につけての解析が林によ⁽⁶⁾なされ、衝撃的波圧の作用による堤体の滑動面におけるセン断力の計算が發表された。一方、伊藤は実験観測から基礎の弾性を仮定する際、水平方向のセン断変形を考慮した方が適当じゃないかと云う見解を示し、筆者の觀察によ⁽⁷⁾て、大部分が塑性的な変形であると想われるか。それが認められないので、こ⁽⁸⁾れで、基礎の塑性領域を含めての水平セン断弾性係数を仮定し、その振動特性と滑動の問題に対する若干の考察を行つてみた。

2 振動特性に關して

まず、混成防波堤の力学的模型として、下図の如きを考へ、又自由度の振動とする。これに一般に、ロッキング振動として広く知られて⁽⁹⁾いる。こ⁽¹⁰⁾こは簡単の為、減衰項を無視するこ⁽¹¹⁾とす。



使用記号について (単位中当たりを考へる)

$f(t)$: 作用波力 $f(t)$: 潜圧力 α : $f(t) = \alpha f(t)$

M : 堤体質量

M' : 堤体仮想付加質量

I_g : 堤体重心まわりの慣性モーメント

I'_g : 堤体重心まわりの付加慣性モーメント

k_x : 地盤の水平ばね常数

k_y : 地盤の回転ばね常数

K_x : 水平地盤係数

K_y : 鎖直地盤係数

R_m : 重心よりロッキング中心までの距離

ロッキニグ振動は、重心の水平方向の運動と、重心まわりの回転運動の2成分によつて表わすことができるから、以下二式が成立します。

重心の水平方向の運動の式

$$(M + M') \ddot{x} + f_{ex}(x - h\theta) = f(t) \quad \dots \dots \dots \quad (1)$$

重ねまわりの回転式

$$(I + I')\ddot{\theta} + k_e\dot{\theta} - k\{k_x(x - l\theta)\} = (k_2 + \alpha k_3)f(t) \quad \dots \dots \dots (2)$$

$$\begin{aligned} \omega_x^2 &= \frac{\kappa_x}{M+M'} & \tau_x \omega_x^2 &= \frac{\kappa_x \tau_x}{M+M'} \\ \omega_z^2 &= \frac{(\kappa_0 + \kappa_{\text{ext}})^2}{I+I'} & \tau_x \omega_z^2 &= \frac{\kappa_x \tau_x}{I+I'} \end{aligned}$$

(1), (2) 式は

$$\ddot{x} + \omega_x^2 x - Y_x \omega_x^2 \theta = f(t) / M + M' \quad \dots \dots \dots \quad (3)$$

$$\ddot{\theta} + \omega_0^2 \theta - T_0 u_0 x = (k_2 + \alpha k_3) f(t) / I + I' \quad \dots \dots \dots \quad (4)$$

作用波 $\phi(t)$ を林の仮定と同様、右図のようになると、
繰算子法によると解を求めると以下のようになら $x(t)$ が求まる

直式中 5,718

$$\zeta = \frac{(w_x^2 + w_y^2) - \sqrt{(w_x^2 + w_y^2)^2 - 4(w_x^2 w_y^2 - Y_2 W_x^2 T_0 w_z^2)}}{2}$$

$$\eta = \frac{(w_x^2 + w_0^2) - \sqrt{(w_x^2 + w_0^2)^2 - 4(w_x^2 w_0^2 - r_x w_x^2 r_0 w_0^2)}}{2}$$

初期条件は $t=0$ で $x = \dot{x} = 0, \theta = \dot{\theta} = 0$ である

$$X(t) = \frac{P_m}{C} \left[\left(\frac{W_0^2 + R_2 + \alpha R_3}{M + M'} \right) \frac{t}{I + I'} + \left(\frac{-\zeta^2 + W_0^2}{M + M'} + \frac{R_2 + \alpha R_3}{I + I'} \right) \frac{\sin \zeta t}{\zeta^3 (\eta^2 - \zeta^2)} + \left(\frac{-\eta^2 + W_0^2}{M + M'} + \frac{R_2 + \alpha R_3}{I + I'} \right) \frac{\sin \eta t}{\eta^3 (\zeta^2 + \eta^2)} \right] \quad (6)$$

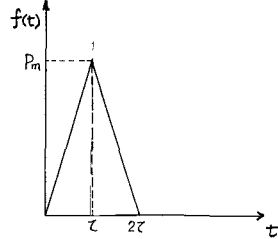
$$= \frac{P_m}{\zeta} \left(\frac{\left(w_\theta^2 + \frac{f_2 + \alpha f_3}{I + I'} w_x^2 \right) - t + 2\zeta}{\zeta^2 \eta^2} + \frac{\left(-\zeta^2 + w_\theta^2 + \frac{f_2 + \alpha f_3}{I + I'} w_x^2 \right) \sin \zeta t - 2 \sin \zeta(t-\zeta)}{-\zeta^3 (-\zeta^2 + \eta^2)} + \frac{\left(-\eta^2 + w_\theta^2 + \frac{f_2 + \alpha f_3}{I + I'} w_x^2 \right) \sin \eta t - 2 \sin \eta(t-\zeta)}{\eta^3 (\zeta^2 + \eta^2)} \right) \quad (7)$$

$$= \frac{P_m}{2} \left(\begin{array}{l} \left(\frac{-5^2 + \omega_0^2}{M + M'} + \frac{f_2 + \alpha f_3}{I + I'} \right) k_x \omega_x^2 \\ -5^3 (-\zeta^2 + \eta^2) \end{array} \right) \left\{ \sin \zeta t - 2 \sin \zeta (t-z) + \sin \zeta (t-2z) \right\} + \frac{\left(\frac{-\eta^2 + \omega_0^2}{M + M'} + \frac{f_2 + \alpha f_3}{I + I'} \right) k_x \omega_x^2}{-\eta^3 (-\zeta^2 + \eta^2)} \left\{ \sin \eta (t-z) \sin \eta (t-z) + \sin \eta (t-2z) \right\} \quad (27) \quad (28)$$

ここで求めた解は、すこし複雑すぎる²ので、以下近似的な取り扱いによって簡単にする二通りある。まず、問題としている混成媒¹場合には、数値の比較を行って見ると、 ω は他に較べて小さく、 $\zeta^2 < \eta^2$ と $\zeta^2 < \eta^3$ となると言え、その結果、(6),(7),(8)式中の三項は無視出来、又オニ項中 $\frac{-\zeta^2}{M+M'} < \frac{W_0}{M+M'} \frac{\zeta^2 + \eta^2}{1+\eta^2} \eta^2$ となるので、 $\frac{-\zeta^2}{M+M'}$ を無視可能となり、次のように簡単に出来ます。

$$\frac{1}{\zeta} \frac{P_m}{\zeta} \frac{1}{\zeta^{\frac{M+m}{2}}} \left(\frac{w_0 \zeta}{M+M'} + \frac{A_2 + \alpha A_3}{I + I'} \zeta w_2 \right) \left\{ -t + 2\zeta - \frac{\sin \zeta t - 2 \sin \zeta(t-\zeta)}{\zeta} \right\} \quad (t < t < z\zeta) \quad (10)$$

$$\frac{P_m}{\zeta} \frac{1}{\zeta^2 \eta^2} \left(\frac{w_0^2}{M+M'} + \frac{A_2 + \alpha A_3}{I + I'} \frac{w_0^2}{\zeta^2 \eta^2} \right) \left\{ \frac{\sin \zeta t - 2 \sin \zeta(t-\zeta) + \sin \zeta(t-2\zeta)}{-\zeta} \right\} \quad (2\zeta < t) \quad \text{--- (11)}$$



同様の取り扱いによって、 $\theta(t)$ は以下のようになる。

$$\theta(t) = \frac{P_m}{\zeta} \times \frac{1}{\zeta^2 \eta^2} \left(\frac{h_2 + \alpha h_3}{I+I'} w_x^2 + \frac{r_0 w_0^2}{M+M'} \right) \left(t - \frac{\sin \zeta t}{\zeta} \right) \quad (0 < t < \tau) \quad \dots \dots \dots \quad (12)$$

$$= \frac{P_m}{\zeta} \times \frac{1}{\zeta^2 \eta^2} \left(\frac{h_2 + \alpha h_3}{I+I'} w_x^2 + \frac{r_0 w_0^2}{M+M'} \right) \left\{ -t + 2z - \frac{\sin \zeta t - 2 \sin \zeta (t-z)}{\zeta} \right\} \quad (2z < t < \tau) \quad \dots \dots \dots \quad (13)$$

$$= \frac{P_m}{\zeta} \times \frac{1}{\zeta^2 \eta^2} \left(\frac{h_2 + \alpha h_3}{I+I'} w_x^2 + \frac{r_0 w_0^2}{M+M'} \right) \left\{ \frac{\sin \zeta t - 2 \sin \zeta (t-z) + \sin \zeta (t-2z)}{\zeta} \right\} \quad (z < t) \quad \dots \dots \dots \quad (14)$$

以上より、ロッキング中心角を求めてみると

$$R_M = \frac{x}{\theta} = \frac{\frac{w_0^2}{M+M'} + \frac{h_2 + \alpha h_3}{I+I'} r_x w_x^2}{\frac{h_2 + \alpha h_3}{I+I'} w_x^2 + \frac{r_0 w_0^2}{M+M'}} = \frac{r_0 + r_x h^2 + (h_2 + \alpha h_3) r_x h}{(h_2 + \alpha h_3) r_x + r_x h} \quad \dots \dots \dots \quad (15)$$

ここで、 $r_0 = \frac{2}{3} K_0 l^3$, $r_x = b S K_0$, $S = k_s K_0$, $n = b/a$, $(h_2 + \alpha h_3)/h = m$ とおいて R_M を求めると、
 $R_M = \left\{ \frac{2}{3} n^2 + (1+m)S \right\} / (1+m)S$ となり、これを図-1に示す。直線なるパラメータは、ほぼ $0 < m < 1$ の範囲にあり、これは林のパラメータ入力に対応するもので、 m を入力直すと約 $0.5 < m < 1.2$ の範囲に当る。

3 滑動Kに関して

以上の運動を考慮した場合、堤体滑動面に生ずるせん断力 $S(t)$ は次のように表わせる。

$$S(t) = f(t) - (M+M') \ddot{x} = f_x(x - h\theta) = \left(\frac{r_0 r_x}{r_0 + r_x h^2 + (h_2 + \alpha h_3) r_x h} \right) x(t) \quad \dots \dots \dots \quad (16)$$

ここで、(9)(10)(11)式の $x(t)$ を上式に代入すると $S(t)$ が求められる。

$x(t)$ の式において

$$\left(\frac{w_0^2}{M+M'} + \frac{h_2 + \alpha h_3}{I+I'} r_x w_x^2 \right) / \zeta^2 \eta^2 = \left(\frac{w_0^2}{M+M'} + \frac{h_2 + \alpha h_3}{I+I'} r_x w_x^2 \right) / (w_x^2 w_0^2 - r_x w_x^2 r_0 w_0^2) = \frac{r_0 + r_x h^2 + (h_2 + \alpha h_3) r_x h}{r_x r_0} \quad \dots \dots \dots \quad (17)$$

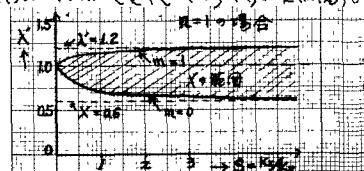
であり、又 $t' = t/\tau = 2\pi/\pi$, $t' = t/\tau = (5/\pi)\tau$ なる林と同じ無次元表示を用いると、(16)式は次のようになります。

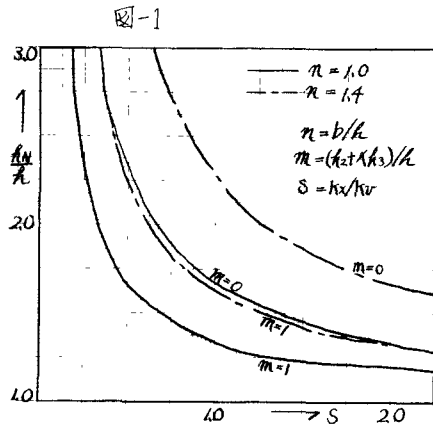
$$S(t) = \frac{P_m}{2\pi\zeta} (2\pi t' - \sin 2\pi t') \quad \dots \dots \dots \quad (18)$$

$$= \frac{P_m}{2\pi\zeta} \left\{ 2\pi(-t + 2z) - \sin 2\pi t' + 2 \sin 2\pi(t' - z) \right\} \quad \dots \dots \dots \quad (19)$$

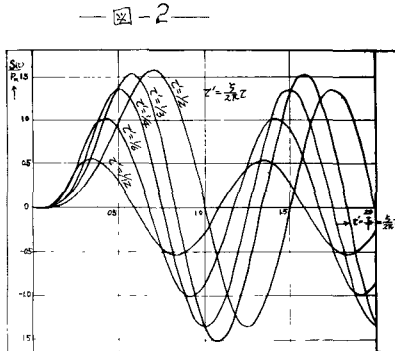
$$= \frac{P_m}{2\pi\zeta} \left\{ \sin 2\pi t' - 2 \sin 2\pi(t' - z) + \sin 2\pi(t' - z) \right\} \quad \dots \dots \dots \quad (20)$$

この $S(t)$ の式において問題となるのは、林のパラメータとして用いた入力近似の取り扱いの中でも視されてことであるが、次にこれを検討してみよう。まず $f(t) - (M+M')$ と (9)式を代入し、 M', I' を無視すると $f(t) - M \ddot{x} = \frac{P_m}{2\pi\zeta} (2\pi t' - \sin 2\pi t')$, $\dot{x} = \frac{1}{2} (t' + (1+m)S) / \frac{1}{3} (4+n^2) S + \frac{2}{3} n^2$ となる。
この \dot{x} を $n=1$ の場合について計算してみると、石田に示すか、ほぼ 1 と見做して近似的取り扱い、式方が便利であろうと思われる。直線の差だけ近似解は原方程式を満たさないことがある。





1-1



(18)(19)(20)式で $S(t)/P_m$ を計算したのが上図である

4 考察

以上、非常に大まかな近似的取扱いによつて、水平セン断変形を考慮した場合、衝撃荷重の影響を見たが、この近似の程度では、その影響はほんまり見出せなかつた。ただ、ロッキング中心、ロッキング周期ら、などは式(15)(21)での特性は検討出来るとと思われる。まずロッキング中心には γ が大となる場合、~~たとへば~~ 小となる時には堤体下面中央に仮定することは無理で、又水深が浅い時、ニニでは $m=0$ までしか計算しないから、ひりであるかこれと同様である。ニニで一つの問題は (k_2+m) をどうとるかであるが、これはまだ正確なことはわからぬようである。筆者の計算をどう意味で参考までと云うことをある。

次に、滑動面にあり δ セン断力につい τ は、林の計算と同様 δ の τ が得られれば工学的に見て、二の程度の近似で十分であろうと思われる。直、水平セン断变形を考慮すべきかについては問題はあるが、消極的に見てモニタのチェックは必要であろう。

又、もう一つ重要な事は、腰かけ部圧力をどう取入れるかであるが、これは今後検討してみたい。

5. 参考文献

- (1) 永井莊七郎 第7回、第8回海岸工学講習会講義集

(2) 村木 義雄 第12回海岸工学講習会講義集

(3) 林 泰造 第7回、第10回、第11回海岸工学講習会講義集

(4) 伊藤 喜行 港湾技術研究所報告(運輸省) 第5巻 14号 (1966年)